

УДК 534.232

## АНАЛИЗ ВОЗБУЖДЕНИЯ ПАВ В ПЬЕЗОПЛЕНОЧНЫХ СЛОИСТЫХ ЗВУКОПРОВОДАХ ЭЛЕКТРОДНЫМИ ПРЕОБРАЗОВАТЕЛЯМИ

*B. C. Усов, Д. И. Дегтярев, А. И. Сурыгин*

В данной работе предпринимается попытка обобщения теории пьезопленочных преобразователей на основе метода, применяемого в теории возбуждения электромагнитных волн в волноводах и основанного на интегрировании леммы Лоренца по некоторой замкнутой поверхности, заключающей в себя стороны источники полей. Последовательное применение этого метода позволило получить ряд новых результатов, относящихся к зависимости эффективности возбуждения поверхностных акустических волн от толщины пьезопленки, вида электродной системы и конфигурации слоистого звукопровода.

### Введение

Пьезопленочные преобразователи широко применяются в акустоэлектронике и акустооптике. Строгая теория таких преобразователей очень сложна, поэтому большое значение имело появление работы [1], в которой на основе теории нормальных мод акустических волноводов [2] и метода возмущений [2, 3] задача возбуждения волн пьезопленочным преобразователем приближенно сведена к анализу дисперсионных характеристик звукопровода (к определению параметра  $\Delta v/v$ ) и к решению простой электростатической задачи для слоистой среды без волнового движения.

В последующие годы многочисленные работы, посвященные исследованию свойств и применению пьезопленочных структур (например, [4–8]), опирались на результаты статьи [1].

Однако в соответствующих задачах электромагнитной теории [9] в отличие от [1] поля возбуждаемых мод берутся такими, какие они существуют в дальней (волновой) зоне, а в области расположения источников и нарушения регулярности волновода суммы полей нормальных мод никаким измененным граничным условиям не подчиняются. В данной работе ставилась цель обобщить такой подход на акустические волноводы и проанализировать те новые ситуации, которые при этом возникают.

### Расчет потока мощности возбуждаемой моды на основе интегрирования обобщенной леммы Лоренца

Обобщенная лемма Лоренца для двух произвольных полевых решений (с индексами «1» и «2») в квазистатическом приближении имеет вид [2]

$$\nabla[-v_1 \vec{T}_2^* - v_2^* \vec{T}_1 + \Phi_1(j\omega D_2)^* + \Phi_2^*(j\omega D_1)] = v_2^* F_1 + v_1 F_2^* + \Phi_1(j\omega \rho_{s2})^* + \Phi_2^*(j\omega \rho_{s1}). \quad (1)$$

Здесь  $v$  — поле скоростей частиц,  $\vec{T}$  — тензор механического напряжения,  $D$  — вектор электрической индукции,  $\Phi$  — электрический потенциал,  $F$  — объемная плотность сторонней силы,  $\rho_s$  — объемная плотность сторонних электрических зарядов; все эти обозначения вводятся для комплексных амплитуд соответствующих величин.

Далее будет рассматриваться двумерная несамосогласованная задача возбуждения волн преобразователями, образованными двумя произвольными системами тонких идеально проводящих электродов (рис. 1—3), протяженность которых в направлении  $y$ , перпендикулярном плоскости чертежа, считается бесконечной. Электроды нанесены на две стороны плоского пьезоэлектрического слоя  $I$ , расположенного на полубесконечной однородной непьезоэлектрической подложке  $II$ . Тогда сторонним источником следует считать поверхностьную плотность электрического заряда на электродах  $\sigma(x, z)$  или связанное с ней распределение электрического потенциала  $\Phi_{ct}(x, z)$ , найденные из решения двумерной задачи электростатики для слоистой среды без волновых явлений.

Вначале рассмотрим электродный преобразователь с волноведущей структурой без металлических пленок на границах раздела сред  $z=0, H$  (рис. 1). Выберем контур интегрирования  $\mathcal{L}$  в плоскости  $xz$  так, чтобы отрезки  $AB$  и  $CD$  располагались в дальней зоне распространяющихся поверхностиных акустических волн (ПАВ).

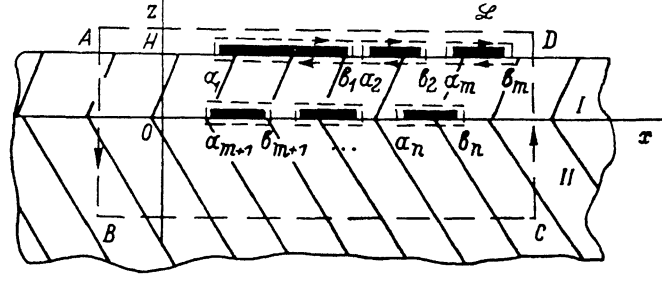


Рис. 1. Электродный преобразователь, сопряженный с волноведущей структурой без металлизации на границах пьезопленки  $z=0, H$  ( $a_i, b_i$  — координаты краев электродаов).

Отрезки  $BC$  и  $AD$  расположим на достаточном удалении от области источников, чтобы на этих границах были пренебрежимо малыми как упругие, так и электрические поля. Из прямоугольной области  $ABCD$  вырежем  $n$  бесконечно узких по  $z$  замкнутых контуров, охватывающих все  $n$  электродов. В образовавшейся многосвязной области отсутствуют сторонние объемные силы и электрические заряды, т. е.  $F \equiv 0, p_e \equiv 0$ , поэтому правая часть формулы (1) обращается в нуль.

Проинтегрируем теперь (1) по контуру многосвязной области  $ABCD$ , учитывая сделанные выше предположения. При этом индекс «1» припишем величинам, относящимся к возбуждаемой моде ПАВ, а индекс «2» — полным полям в волноводе, представляемым обычным образом в виде разложения на сумму нормальных мод данного конкретного вида волноведущей структуры. Опуская подробности стандартных для таких расчетов математических операций, опирающихся на соотношения ортогональности нормальных мод [2, 9, 10], приведем результат интегрирования

$$2P_1 = j\omega \left\{ \sum_{k=1}^m \int_{a_k}^{b_k} \Phi_1(x, H) [D_{2n}^*(x, H_+) - D_{2n}^*(x, H_-)] dx + \right. \\ \left. + \sum_{k=m+1}^n \int_{a_k}^{b_k} \Phi_1(x, 0) [D_{2n}^*(x, 0_+) - D_{2n}^*(x, 0_-)] dx \right\} / 4. \quad (2)$$

Здесь  $2P_1$  — поток средней мощности возбуждаемой моды на единицу длины по координате  $y$  через отрезки  $AB$  и  $CD$  контура интегрирования, правая часть соответствует общему потоку полной электрической мощности (также на единицу длины по координате  $y$ ) от сторонних источников — электродаов преобразователя.

Такой результат интегрирования основан на предположении о непрерывности нормальной компоненты электрической индукции  $D_{1n}$  возбуждаемой

моды, что имеет место в рассматриваемой волноведущей структуре. Очевидно, что для каждого  $k$ -го электрода  $D_{2n}^*(x, z_+) - D_{2n}^*(x, z_-) = \sigma_k^*(x)$ , где  $\sigma_k^*$  — комплексносопряженная поверхностная плотность заряда на этом электроде. Если учесть, что  $\sigma(x, z) \equiv 0$  везде, кроме поверхности электродов, то (2) тождественно преобразуется к виду

$$2P_1 = j\omega \left[ \int_{-\infty}^{\infty} \Phi_1(x, H) \sigma^*(x, H) dx + \int_{-\infty}^{\infty} \Phi_1(x, 0) \sigma^*(x, 0) dx \right] / 4. \quad (3)$$

Теперь остается конкретизировать зависимость  $\Phi_1(x)$ . Так как имеются две волны возбуждаемой моды, распространяющиеся во взаимно противоположных направлениях вдоль оси  $x$ , причем в силу симметрии волновода по  $x$  их амплитуды одинаковы, то

$$\begin{aligned} \Phi_1(x, H) &= \Phi_{1M}(H) [\exp(jk_1 x) + \exp(-jk_1 x)], \\ \Phi_1(x, 0) &= \Phi_{1M}(0) [\exp(jk_1 x) + \exp(-jk_1 x)]. \end{aligned} \quad (4)$$

Здесь  $\Phi_{1M}(H)$ ,  $\Phi_{1M}(0)$  — комплексные амплитуды бегущих волн элекрического потенциала,  $k_1$  — волновое число возбуждаемой моды ПАВ.

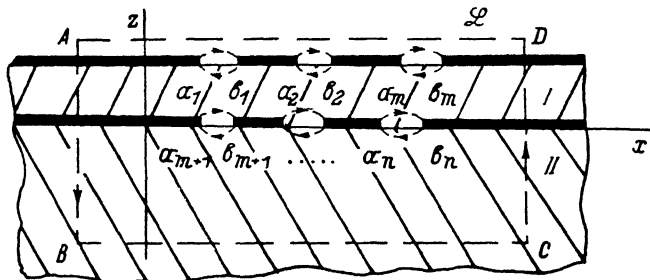


Рис. 2. Щелевой преобразователь, сопряженный с волноведущей структурой с металлизацией на границах пьезопленки  $z=0, H$  ( $a_i, b_i$  — координаты краев щелей).

Используя представления (4) потенциала  $\Phi_1$ , можно преобразовать (3) к виду

$$P_1 = j\omega [\Phi_{1M}(H) \tilde{\sigma}^*(H) + \Phi_{1M}(0) \tilde{\sigma}^*(0)] / 4, \quad (5)$$

где  $\tilde{\sigma}^*$  есть косинус-преобразование Фурье (по  $x$ ) от функции  $\sigma^*(x)$ .

Очевидно, что мнимая составляющая правой части (5) должна обращаться в нуль, что обеспечивается правильным выбором начальной фазы излучаемых волн относительно заданного распределения поверхностного заряда на электродной системе. Поэтому

$$P_1 = \operatorname{Re} \{ j\omega [\Phi_{1M}(H) \tilde{\sigma}^*(H) + \Phi_{1M}(0) \tilde{\sigma}^*(0)] \} / 4. \quad (6)$$

Теперь рассмотрим другой вид волноведущей структуры (рис. 2). При этом преобразователь удобно представить системой щелей с координатами краев  $a_k$ ,  $b_k$ , внутри которых задано распределение стороннего электрического потенциала  $\Phi_{ex}(x)$ , поэтому будем называть такой преобразователь щелевым. Контуры  $\mathcal{L}$  выбираем из тех же соображений, что и в предыдущем случае, но из него вырезается  $n$  замкнутых бесконечно узких контуров, охватывающих все щели.

Интегрирование (1) по контуру  $\mathcal{L}$  приводит в данном случае к другому результату, так как  $\Phi_1(x, H) = \Phi_1(x, 0) \equiv 0$ . Теперь вклад в общий интеграл от малых внутренних контуров, охватывающих щели, будет связан с членом  $\Phi_2^*(j\omega D_1)$  (1), что дает вместо (2) выражение

$$2P_1 = j\omega \left\{ \sum_{k=1}^m \int_{a_k}^{b_k} \Phi_{ct}^*(x, H) [D_{1n}(x, H_+) - D_{1n}(x, H_-)] dx + \right. \\ \left. + \sum_{k=m+1}^n \int_{a_k}^{b_k} \Phi_{ct}^*(x, 0) [D_{1n}(x, 0_+) - D_{1n}(x, 0_-)] dx \right\} / 4. \quad (7)$$

Поскольку разрыв вектора электрической индукции в излучаемой моде ПАВ связан с появлением поверхностных зарядов на металлических пленках, присутствующих в данном варианте звукопровода, можно плотность этих зарядов обозначить через  $\sigma_{1A}(H)$ ,  $\sigma_{1A}(0)$  и привести выражение (7) к форме:

$$2P_1 = j\omega \left[ \int_{-\infty}^{\infty} \Phi_{ct}^*(x, H) \sigma_{1A}(x, H) dx + \int_{-\infty}^{\infty} \Phi_{ct}^*(x, 0) \sigma_{1A}(x, 0) dx \right] / 4. \quad (8)$$

Наконец, взамен формул (4) из тех же соображений, что и ранее, имеем

$$\left. \begin{aligned} \sigma_{1A}(x, H) &= \sigma_{1AM}(H) [\exp(jk_1 x) + \exp(-jk_1 x)], \\ \sigma_{1A}(x, 0) &= \sigma_{1AM}(0) [\exp(ik_1 x) + \exp(-jk_1 x)]. \end{aligned} \right\} \quad (9)$$

Окончательный результат для щелевого преобразователя

$$P_1 = \operatorname{Re} \{ j\omega [\sigma_{1AM}(H) \hat{\Phi}_{ct}^*(H) + \sigma_{1AM}(0) \hat{\Phi}_{ct}^*(0)] \} / 4. \quad (10)$$

Очевидно, аналогичным образом можно составить выражения для  $P_1$  в случаях смешанного типа, когда в одной из плоскостей ( $z=0$  или  $H$ ) электроды металлические, а в другой — щелевые. Формулы (6), (10) и их смешанные аналоги связывают мощность ПАВ в дальней зоне с Фурье-образами плотности поверхностных зарядов или (и) сторонних потенциалов преобразователя, которые в принципе всегда могут быть найдены из решения соответствующей электростатической задачи. Кроме того, необходимо располагать электрическими характеристиками  $\Phi_1$  и (или)  $\sigma_{1A}$  в сечениях  $z=0, H$  (возбуждаемой моды ПАВ). Они также всегда могут быть получены из известных решений задач распространения ПАВ в волноводе той или иной структуры.

В ряде практических важных частных случаев, как будет показано далее, все необходимые данные для полного расчета эффективности преобразователя легко находятся по хорошо известным из научно-технической литературы результатам.

### Проводимость излучения преобразователя и эффективный коэффициент электромеханической связи

Для нахождения соотношения мощности излучаемой моды ПАВ с подведенной к преобразователю внешней электрической мощностью необходимо связать электрические параметры волны  $\Phi_{1M}$  и  $\sigma_{1AM}$  с потоком мощности  $P_1$ . С этой целью удобно воспользоваться импедансом двуслойной акустической среды  $Z_1$ , введенным в [1]. По определению  $Z_1 = |\Phi_{1M}|^2 / 2P_1$ , поэтому  $\Phi_{1M} = \sqrt{2P_1 Z_1}$ . Начальные фазы комплексных амплитуд потенциала ПАВ  $\Phi_{1M}(H)$  и  $\Phi_{1M}(0)$  обозначим  $\Theta_H$  и  $\Theta_0$ , условие их выбора уже было оговорено в связи с необходимой вещественностью выражения (5). Итак,

$$\Phi_{1M}(H) = \sqrt{2P_1 Z_1(H)} \exp(j\Theta_H), \\ \Phi_{1M}(0) = \sqrt{2P_1 Z_1(0)} \exp(j\Theta_0).$$

Подставляя эти представления потенциала ПАВ в (6), получим

$$P_1 = -\frac{1}{8} \omega^2 [\sqrt{Z_1(H)} \tilde{\sigma}^*(H) \exp(j\Theta_H) + \sqrt{Z_1(0)} \tilde{\sigma}^*(0) \exp(j\Theta_0)]^2. \quad (11)$$

Предположим, что реальный преобразователь имеет размер электродов по оси  $y$  (апerture)  $w$ , и к его входным электрическим зажимам (при двух-

фазном питании) приложено внешнее напряжение с амплитудой  $U_M$ . Тогда подводимая активная мощность  $P_{\text{акт}} = (U_M^2/2)G_{1A}(j\omega)$ , где  $G_{1A}$  — проводимость излучения возбуждаемой моды ПАВ. Из очевидного соотношения  $P_{\text{акт}} = 2P_1w$  находится окончательный результат — проводимость излучения электродного преобразователя (рис. 1)

$$G_{1A}(\omega) = -\frac{1}{2}\omega^2 w [\sqrt{Z_1(H)} \hat{\delta}^*(H) \exp(j\Theta_H) + \sqrt{Z_1(0)} \hat{\delta}^*(0) \exp(j\Theta_0)]^2. \quad (12)$$

В (12) введены нормированные Фурье-образы поверхностной плотности зарядов на электродах  $\hat{\delta} = \delta/U_M$ . Значения  $Z_1(0)$  и  $Z_1(H)$  могут быть найдены либо непосредственным численным расчетом при решении задачи распространения ПАВ в волноведущей структуре данного типа, либо приближенно определены через параметр  $\Delta v/v$  (если он известен) методом возмущения, развитым Кайно и Уэйджерсом в [1].

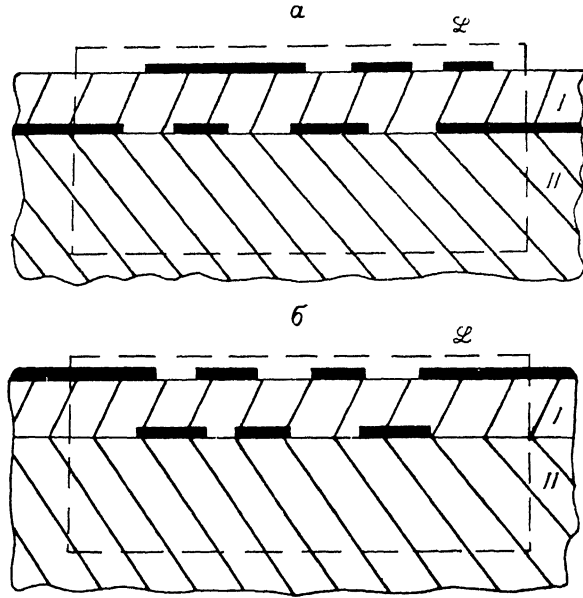


Рис. 3. Преобразователи смешанного типа, сопряженные с волноведущими структурами с металлизацией только одной из границ пьезопленки.

a — нижняя  $z=0$ , б — верхняя  $z=H$ .

Несколько иначе обстоит дело с расчетом проводимости излучения щелевого ВШП. Для удобства введем некий фиктивный адmittанс двуслойной акустической среды с металлической пленкой  $Y_1$ . Количественно определим его следующим образом:  $Y_1 = |\sigma_{1AM}|^2/2P_1$ , тогда  $|\sigma_{1AM}| = \sqrt{2P_1 Y_1}$ . Начальные фазы комплексных амплитуд поверхностных плотностей зарядов ПАВ  $\sigma_{1AM}(H)$  и  $\sigma_{1AM}(0)$  обозначим  $\Psi_H$  и  $\Psi_0$ , их выбор должен обеспечить вещественность выражения (8). Таким образом,

$$\begin{aligned} \sigma_{1AM}(H) &= \sqrt{2P_1 Y_1(H)} \exp(j\Psi_H), \\ \sigma_{1AM}(0) &= \sqrt{2P_1 Y_1(0)} \exp(j\Psi_0). \end{aligned}$$

В результате проводимость излучения щелевого преобразователя оказывается равной

$$G_{1A}(\omega) = -\frac{1}{2}\omega^2 w [\sqrt{Y_1(H)} \hat{\Phi}_{ct}^*(H) \exp(j\Psi_H) + \sqrt{Y_1(0)} \hat{\Phi}_{ct}^*(0) \exp(j\Psi_0)]^2, \quad (13)$$

где введено нормированное значение стороннего электрического потенциала  $\hat{\Phi}_{ct} = \Phi_{ct}/U_M$ .

В случае смешанных электродно-щелевых преобразователей, как с очевидностью следует из методики вывода формул (12), (13), слагаемые в квадратных скобках будут комбинироваться следующим образом:

$$G_{1A}(\omega) = -\frac{1}{2}\omega^2 w [\sqrt{Z_1(H)} \hat{\delta}^*(H) \exp(j\Theta_H) - \sqrt{Y_1(0)} \hat{\Phi}_{ct}^*(0) \exp(j\Psi_0)]^2 \quad (14)$$

(для преобразователя, приведенного на рис. 3, а),

$$G_{1A}(\omega) = -\frac{1}{2}\omega^2 w [\sqrt{Y_1(H)} \hat{\Phi}_{ct}^*(H) \exp(j\Psi_H) - \sqrt{Z_1(0)} \hat{\delta}^*(0) \exp(j\Theta_0)]^2 \quad (15)$$

(для преобразователя, приведенного на рис. 3, б).

Если более удобной оказывается нормировка  $\tilde{\delta}$  и  $\tilde{\Phi}_{ct}$  к полному току, втекающему во все однополярные электроды, то аналогичным способом можно получить четыре формулы для сопротивления излучения  $R_{1A}(\omega)$ , соответствующего последовательной эквивалентной схеме преобразователя.

Немаловажным является вопрос об эффективном коэффициенте электромеханической связи рассматриваемых преобразователей. Вообще говоря, коэффициент электромеханической связи для ПАВ не имеет строгого и однозначного определения, но как полуэмпирический параметр он получил широкое распространение в практике акустоэлектронных приборов. Дело в том, что для простых эквидистантных встречно-штыревых преобразователей на полу бесконечном пьезокристалле приближенно выполняется условие

$$Q_A^{-1} = G_{1A}(\omega_0)/\omega_0 C_T \approx N \frac{2\Delta\nu}{v} \equiv N k_m^2,$$

где  $Q_A$  — акустическая добротность,  $C_T$  — емкость ВШП из  $N$  периодов,  $2\Delta\nu/v$  — дисперсионный параметр пьезокристалла,  $k_m^2$  — коэффициент электромеханической связи.

Несмотря на то что результаты данной работы еще раз подчеркивают утрату физического смысла параметром  $k_m^2$  при таком его определении, далее мы будем формально использовать этот параметр, рассчитывая его для эквидистантных преобразователей с помощью выражения [1]

$$k_m^2 = G_{1A}(2\pi f_0)/\pi^2 N f_0 C_T. \quad (16)$$

Это позволит проводить адекватное сопоставление данных, полученных в нашей работе, с аналогичными данными из других известных работ.

### Расчет коэффициента электромеханической связи эквидистантных пьезопленочных преобразователей

Для иллюстрации применения развитого в данной работе метода были выбраны несколько простых случаев, представляющих практический интерес. Это электродные преобразователи с решеткой металлических электродов с одной стороны пьезопленки и со сплошным широким контроллектродом с другой ее стороны (структуры 1а, 1б на рис. 4, 5) и электродные или электродно-щелевые преобразователи, имеющие только электродную решетку с одной или с другой стороны пленки (структуры 2а, 2б на рис. 4, 5). Важно отметить, что

Материал	$\rho$ , кГ/м <sup>3</sup>	$\frac{\epsilon_{11}}{\epsilon_0}$	$\frac{\epsilon_{33}}{\epsilon_0}$	$\lambda$ , Н/м <sup>2</sup>	$\mu$ , Н/м <sup>2</sup>	$\frac{\epsilon_{31}}{КЛ/м^2}$	$\frac{\epsilon_{33}}{КЛ/м^2}$	$\frac{\epsilon_{11}}{КЛ/м^2}$
ZnO	5642	10.2	8.8	$11.13 \cdot 10^{10}$	$4.65 \cdot 10^{10}$	-0.59	1.14	-0.61
Стекло	2540	4.5	4.5	$1.71 \cdot 10^{10}$	$2.53 \cdot 10^{10}$	—	—	—

П р и м е ч а н и е.  $\rho$  — плотность среды,  $\epsilon_{ik}$  — компоненты тензора диэлектрической проницаемости,  $\lambda$  и  $\mu$  — упругие коэффициенты Ламэ,  $\epsilon_{ik}$  — компоненты матрицы пьезоэффициентов.

варианты, помеченные буквами «*a*» и «*b*», при традиционном подходе неразличимы, поэтому любые обнаруженные отличия в их характеристиках представляют собой новую информацию.

Для простоты все решетки считались эквидистантными, с одинаковой шириной электродов и зазоров и с достаточно большим числом электродных пар

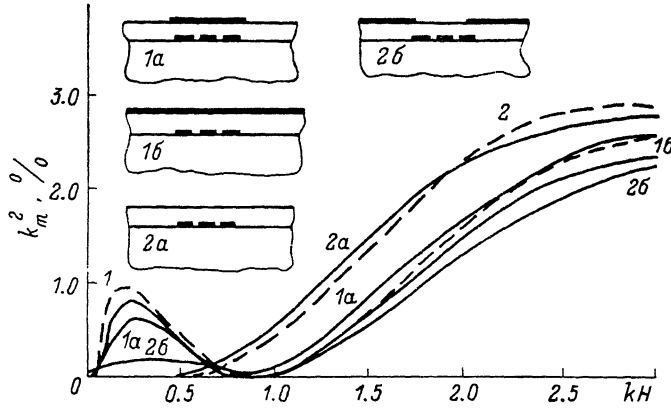


Рис. 4. Результаты расчетов эффективности возбуждения ПАВ электродными преобразователями различного типа, расположенными на границе раздела пьезопленка—подложка.

( $N \geq 8$ ) для структур вида 1 и с малым ( $N=1$ ) для вида 2, где предлагаемый метод позволяет выявить влияние границ металлизации, в расчет заложено перекрытие краев металлизации и решеток на  $\lambda/10$ . На частоте синхронизма решетки  $f_0$  вполне допустимо принять плотность заряда на электродах равномерной по их ширине, причем значение нормированной Фурье-преобразованной

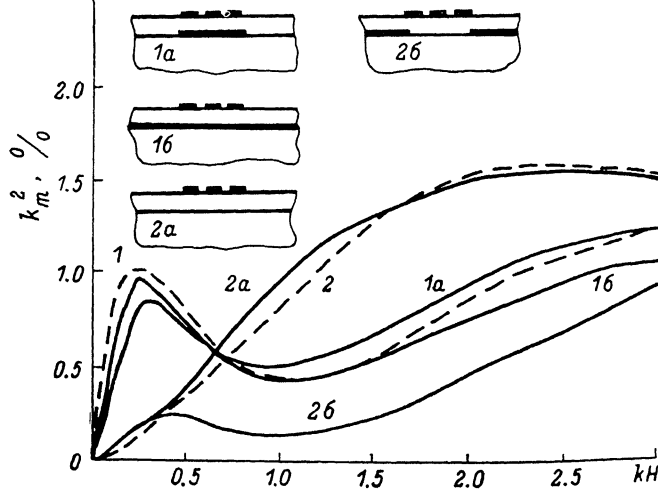


Рис. 5. Результаты расчетов эффективности возбуждения ПАВ электродными преобразователями различного типа, расположенных на верхней границе пьезопленки.

в плоскости расположения решетки легко вычисляется через электростатическую емкость преобразователя  $C_T$ :  $\tilde{\sigma} = 4\sqrt{2}C_T/\pi w$ . Фурье-образы плотности заряда, наведенного на контратреходе (варианты преобразователей 1*a*, 1*b*, 2*a*, 2*b*), или электрического потенциала в щели (варианты 2*a*, 2*b*) выражаются через  $\tilde{\sigma}$  с помощью решений соответствующих простых задач электростатики, совершенно аналогичных рассмотренным в [1] (пары 1*a* и 1*b*, 2*a* и 2*b* в теории [1] неразличимы).

Самой трудоемкой частью расчета является вычисление  $Z_1$  или  $Y_1$  возбуждаемой моды ПАВ в волноводе той или иной структуры. Эти вычисления про-

водились нами в предположении упругой изотропности материалов пленки и подложки. Конкретные данные были получены для низшей (квазирэлеевской) моды в типовой слоистой структуре: пьезопленка ZnO (базовой плоскости) на подложке из стекла. Использованные значения материальных параметров приведены в таблице.

Результаты расчета по формуле (16) зависимости  $k_m^2$  от нормированной толщины пленки  $kH$  на частоте  $f=f_0$  представлены для соответствующих вариантов преобразователей на рис. 4, 5, где штриховыми линиями показаны значения  $2\Delta\nu/\nu$ , которым должен быть равен  $k_m^2$  при традиционном подходе на основании [1].

### Анализ результатов и выводы

Сопоставление расчетных данных для электродных преобразователей (1a, 1б) показывает, что качественный характер зависимостей  $k_m^2$  от  $kH$ , полученных по предложеному методу, соответствует поведению кривых  $2\Delta\nu/\nu$ . Можно отметить заметные количественные отличия в районе первого максимума: пониженное значение  $k_m^2 \text{ max}$  (примерно на 50 %) по сравнению с  $2\Delta\nu/\nu$  и такое же смещение  $(kH)_{\text{max}}$  в сторону больших толщин в структуре 1б (рис. 4). Как нам представляется, этим можно объяснить часто отмечавшиеся в литературе пониженные экспериментальные значения  $k_m^2$  в таких структурах, что обычно связывалось с недостаточно высоким качеством пьезопленки.

Преобразователи без контроллера оказываютя еще более чувствительными к структуре поля возбуждаемой моды. Здесь возможно как резкое повышение эффективности возбуждения при введении металлизации на одну из границ волновода (рис. 4, кривая 2б,  $kH < 0.6$ ), так и заметное ее снижение (рис. 4, кривая 2б,  $kH > 0.8$ ; рис. 5, кривая 2б,  $kH > 0.6$ ). Эти новые обстоятельства, до сих пор не отмечавшиеся в известных нам работах, имеют важное значение как при разработке пьезопленочных преобразователей для тех или иных практических применений, так и при оценке качества пьезоэлектрических пленок по результатам измерений акустоэлектрических параметров тестовых структур [11].

Таким образом, в данной работе установлено, что учет структуры волновых полей возбуждаемой моды в звуководе при решении задачи об излучении этой моды пьезопленочным преобразователем имеет существенное значение и приводит к некоторым качественно новым результатам. Предложенное нами обобщение теории легко может быть распространено на ряд других представляющих практический интерес конфигураций преобразователь—волновод, что позволит обнаружить новые закономерности в их характеристиках.

### Литература

- [1] Kino G. S., Wagers R. S. J. Appl. Phys., 1973, v. 44, N 4, p. 1480—1488.
- [2] Auld B. A., Kino G. S. IEEE Trans., 1971, v. ED-18, N 10, p. 898—908.
- [3] Kino G. S., Reeder T. M. IEEE Trans., 1971, v. ED-18, N 10, p. 909—920.
- [4] Hickernell F. S. J. Appl. Phys., 1973, v. 44, N 3, p. 1061—1076.
- [5] Андреев А. С., Анисимкин В. И., Котельянский И. М. и др. Микроэлектроника, 1980, т. 9, № 3, с. 277—279.
- [6] Гранкин И. М., Лопушенко В. К., Погребняк В. П. Изв. вузов. Радиоэлектроника, 1981, т. 24, № 11, с. 70—73.
- [7] Burov J. I., Ta Dink Kahn. Болгарский физический журнал, 1982, т. 9, № 2, с. 159—1976.
- [8] Pashchin N. S., Yakovkin I. B. Proc. Intern. Symp. «Surface waves in solids and layered structures». Novosibirsk, 1980, v. II, p. 398—400.
- [9] Никольский В. В. Электродинамика и распространение радиоволни. М.: Наука, 1978. 544 с.
- [10] Auld B. A. Acoustic fields and waves in solids. N. Y.: Wiley—Interscience, 1973, v. 2. 415 p.
- [11] Гусев В. А., Сурыгин А. И., Усов В. С. Вопросы радиоэлектроники. Сер. ТПО, 1985, № 2, с. 18—23.

Ленинградский политехнический  
институт им. М. И. Калинина

Поступило в Редакцию  
1 сентября 1987 г.